

## การออกแบบมุมของแม่พิมพ์ที่เหมาะสมสำหรับการตีบบ่างอลูминัม

### Optimum Die Angle Design for Upsetting of an Aluminum Bar

ภาคภูมิ พรมสิทธิ์<sup>1</sup> และ มนต์ศักดิ์ พิมสาร<sup>2</sup>

<sup>1,2</sup>ห้องปฏิบัติการ Electro-Mechanical Engineering (ReCCIT)ภาควิชาวิศวกรรมเครื่องกล คณะวิศวกรรมศาสตร์  
สถาบันเทคโนโลยีพระจอมเกล้าเจ้าคุณทหารลาดกระบัง กรุงเทพฯ 10520

โทร 0-2326-4197 โทรสาร 0-2326-4198 อีเมล pakpoomproms@chaiyo.com<sup>1</sup> และ kpmonsak@kmitl.ac.th<sup>2</sup>  
Pakpoom Proms<sup>1</sup> and Monsak Pimsarn<sup>2</sup>

The ReCCIT Electro-Mechanical Engineering Laboratory, Department of Mechanical Engineering, Faculty of Engineering,  
King Mongkut's Institute of Technology Ladkrabang, Bangkok 10520, Tel:0-2326-4197, Fax: 0-2326-4198  
E-mail: pakpoomproms@chaiyo.com<sup>1</sup> and kpmonsak@kmitl.ac.th<sup>2</sup>

#### บทคัดย่อ

วัตถุประสงค์ของงานวิจัยนี้คือการออกแบบแม่พิมพ์ที่เหมาะสมสำหรับการขึ้นรูปเบินเพื่อเพิ่มพื้นที่หน้าตัดบ่างอลูминัมด้วยวิธีการตีบบั้นทึบความแข็งแรงที่จุดเชื่อมต่อของโครงสร้าง ในการออกแบบแม่พิมพ์ของการตีบบั้นทึบแปรรูปที่พิจารณาคือมุมของแม่พิมพ์ที่ใช้เพิ่มขนาดบ่างอลูминัม โดยในบทความนี้จะได้ทำการตีบบั้นทึบบ่างอลูминัมที่มีขนาดเส้นผ่าศูนย์กลางเริ่มต้นเท่ากับ 16 มิลลิเมตร ให้ได้ขนาดเส้นผ่านศูนย์กลางสุดท้ายเท่ากับ 18, 19 และ 20 มิลลิเมตร ดังนั้นจึงมีความจำเป็นที่ต้องหาขนาดของแม่พิมพ์ที่ทำให้ได้แรงในการตีบบั้นทึบอยู่ที่สุด โดยการตีบบั้นทึบโดยการตีเพียงแค่ครั้งเดียว ในการศึกษาจะกระทำการตีบบั้นทึบโดยใช้วิธีการคำนวณทางทฤษฎี Slab method และการวิเคราะห์ด้วยวิธีไฟโน่โน้ต อีกทั้งยังใช้วิธี Finite Element Method เพื่อเปรียบเทียบกัน จากผลการวิเคราะห์พบว่ามุมของแม่พิมพ์ที่เหมาะสมคือ 10, 15 และ 25 องศา สำหรับแม่พิมพ์ที่ให้ขนาดเส้นผ่านศูนย์กลางสุดท้ายเท่ากับ 18, 19 และ 20 มิลลิเมตร ตามลำดับ แต่แรงที่ใช้ในการตีบบั้นทึบโดยวิธีไฟโน่โน้ตต่ำกว่าแรงที่ได้จากการตีเพียงแค่ครั้งเดียว

**คำสำคัญ:** การขึ้นรูปเบิน, การตีบบั้นทึบ, การออกแบบแม่พิมพ์

#### Abstract

The aim of this research is to optimally design the die used for increasing a cross section of an aluminum bar, an upsetting process. The upset work pieces are later tapped and will be used for connecting two aluminum bars together with a coupling tube. This method is widely used in construction work and enhances connection strength in structures. In the design procedure, the parameter considered is a die angle. In this paper, an initial aluminum bar diameter is 16 mm. After the upsetting process, the diameter is increased to various sizes, such as 18, 19 and 20 mm.. The upsetting method used in this study is single stroke process. The study is carried out by using Slab and finite element methods. Later, the results obtained from both methods are compared. The simulated results indicate that the optimum die angle are 10°, 15° and 25° when the final diameters are 18, 19 and 20 mm., respectively. However, the estimated stroke force obtained from Slab method is higher than the force predicted by finite element model.

**Keywords:** Cold Forming, Upsetting, Die Design

#### 1. บทนำ

การต่อเหล็กโครงสร้างคอนกรีตเสริมเหล็ก มักจะใช้การผูกเหล็ก โดยการต่อทابเหล็ก ซึ่งจะมีปัญหาความแข็งแรงที่จุดต่อ และถ้าขนาดเหล็กพิมพ์ขึ้น ความยาวเหล็กต่อทابก็จะยาวขึ้นทำให้ต้นทุนการก่อสร้างสูงขึ้นไปด้วย การต่อเหล็กโดยใช้ข้อต่อ (coupler) จะช่วยแก้ปัญหาความแข็งแรงที่จุดเชื่อมต่อ ลดความยาวเหล็กต่อทابและทำงานได้สะดวกและรวดเร็ว

ในบทความนี้วัสดุที่ใช้เป็นอลูมิเนียม บ่างอลูมิเนียมจะทำขึ้นรูปโดยการตีบบั้นทึบ (upsetting) เพื่อเพิ่มพื้นที่หน้าตัดก่อนนำไปทำเกลียวเพื่อรวมกับข้อต่อ การขึ้นรูปจะใช้การขึ้นรูปแบบเบินโดยการตีบบั้นทึบเดียว อัตราส่วนการตีบบั้นทึบ  $S = \frac{l_0}{d_0}$  มีค่าไม่เกิน 2.6 เมื่อ  $l_0$  เป็นความยาวเริ่มต้น และ  $d_0$  เป็นขนาดเส้นผ่าศูนย์กลางเริ่มต้นของบ่างอลูมิเนียม ซึ่งขนาดของเส้นผ่าศูนย์กลางของบ่างอลูมิเนียมเป็น 16 มม. ทำการตีบบั้นทึบเป็นขนาดเส้นผ่าศูนย์กลาง 18, 19 และ 20 มม. โดยตั้งสมมติฐาน

ว่า ปริมาตรก่อนดีบันเท่ากับปริมาตรหลังดีบัน ในการวิเคราะห์ใช้ หลักการของ slab method เปรียบเทียบกับผลการวิเคราะห์ไฟในท่ออลูมิเนียมที่มีมุนแม่พิมพ์ต่าง ๆ

## 2. ทฤษฎี

### 2.1 การดีบัน (Upsetting)

การดีบัน (upsetting) จัดเป็นการขึ้นรูปแบบ compressive forming โดยทำให้พื้นที่หน้าตัดเพิ่มขึ้น แต่ปริมาตรรวมยังคงเดิม โดยเป็น กระบวนการเสียรูปแบบ homogeneous ซึ่งเป็นกระบวนการที่ตั้งสมมติฐานว่าเมื่อขึ้นงานเกิดการเสียรูป จุดทุกจุดบนชิ้นงานจะก่อความเครียดขึ้น จากรูปที่ 1 ชิ้นงานหน้าตัดสี่เหลี่ยมมุนจากถูกดีบัน ระหว่างแผ่น plate ที่ขานกันโดยไม่มีความเสียดทาน ที่ความเร็วเป็นพังก์ชันเส้นตรงตามแนวแกน ความเร็วในแกนต่าง ๆ จะได้เป็น

$$v_x = \frac{v_T}{2h} x \quad (1)$$

$$v_y = \frac{v_T}{2h} y \quad (1)$$

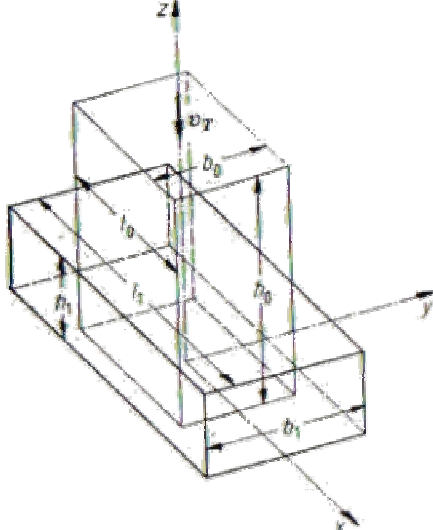
$$v_z = -\frac{v_T}{h} z \quad (1)$$

และ normal strain rate จะได้เป็น

$$\dot{\varepsilon}_x = \frac{v_T}{2h} = \varphi_l \quad (2)$$

$$\dot{\varepsilon}_y = \frac{v_T}{2h} = \varphi_b \quad (2)$$

$$\dot{\varepsilon}_z = -\frac{v_T}{h} = \varphi_h \quad (2)$$



รูปที่ 1 การเสียรูปแบบ homogeneous ของวัตถุทรงสี่เหลี่ยมมุนจาก

ความเครียดในทิศทาง z ในช่วงเวลา  $t_1 - t_0$  จะหาได้จาก

$$\varphi_h = \int_0^{t_1} \frac{v_T}{h} dt = \int_0^{t_1} \left( -\frac{v_T}{h} \right) dt \quad (3)$$

ถ้า  $h_0$  และ  $h_1$  เป็นความสูงชิ้นงานที่เวลา  $t_0$  และ  $t_1$  ตามลำดับ แล้ว

$$dh = -v_T dt$$

$$\text{จะได้ } \varphi_h = \int_{h_0}^{h_1} \frac{dh}{h} = \ln h_1 - \ln h_0 = \ln \frac{h_1}{h_0} \quad (4)$$

และจากสมการ (3) และ(4) ความเครียดที่แกน x แกน y จะได้

$$\varphi_l = \ln \frac{l_1}{l_0} \quad (5)$$

$$\varphi_b = \ln \frac{b_1}{b_0} \quad (6)$$

ค่าของ  $\varphi$  เป็น natural strain หรือ true strain โดยที่ปริมาตรก่อนการขึ้นรูป จะเท่ากับปริมาตรหลังการขึ้นรูป พิจารณาวัตถุทรงสี่เหลี่ยมมุนจาก มีขนาดมิติก่อนการขึ้นรูปเป็น  $h_0, b_0, l_0$  และขนาดมิติหลังการขึ้นรูปเป็น  $h_1, b_1, l_1$  จะเขียนเป็นสมการได้เป็น

$$V = h_0 b_0 l_0 = h_1 b_1 l_1$$

$$\text{หรือ } \frac{h_0 b_0 l_0}{h_1 b_1 l_1} = 1$$

ใส่ ln ทั้ง 2 ข้างของสมการจะได้

$$\ln \frac{h_0}{h_1} + \ln \frac{b_0}{b_1} + \ln \frac{l_0}{l_1} = \varphi_h + \varphi_b + \varphi_l = 0$$

ถ้าชิ้นงานมีพื้นที่หน้าตัดเป็นวงกลม ความเครียดตามแนวแกนจะเป็น

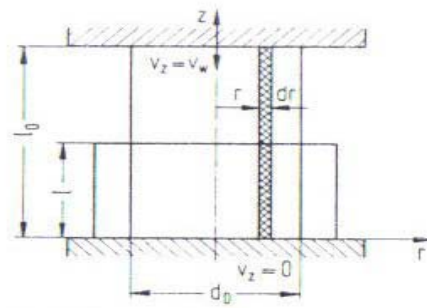
$$\varphi_r = \ln \frac{l_1}{l_0}$$

และความเครียดตามแนวรัศมีและแนวเส้นรอบวงจะเป็น

$$\varphi_r = \varphi_t = \ln \frac{r_1}{r_0}$$

### 2.2 ทฤษฎีพลาสติก (Slab method)

พื้นฐานหลักการของทฤษฎีพลาสติก[1-5] แรงที่ใช้ในการดีบันหาได้โดย การประมาณ จากการกระจายความเค้นตั้งฉากระหว่างเครื่องมือและชิ้นงาน การวิเคราะห์ฯลฯและการดีบันแบบแกนสมมาตรรูปที่ 2 และ 3 จะได้



รูปที่ 2 กระบวนการดีบัน

$$\sigma_r r l d\theta - (\sigma_r + d\sigma_r)(r + dr)l d\theta + 2\sigma_t \sin\left(\frac{d\theta}{2}\right)ldr - 2\mu\sigma_z r d\theta dr = 0 \quad (7)$$

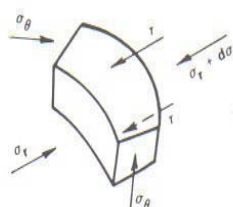
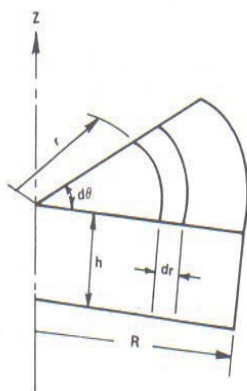
จากสมการ (7) สมมติ  $\sigma_t = \sigma_r$  และเทอมของอนุพันธ์ตัดทิ้ง ไม่สำมารถจารณา สมการจะลดรูปได้เป็น

$$\frac{d\sigma_r}{dr} + \frac{2\mu}{l} \sigma_z = 0 \quad (8)$$

แทน Tresca yield criterion ใน (8)

$$\sigma_r - \sigma_z = \sigma_f \quad (9)$$

$$\frac{d\sigma_r}{dr} + \frac{2\mu}{l} \sigma_r = \frac{2\mu}{l} \sigma_f \quad (10)$$



รูปที่ 3 แรงกระทำบนอเลิมเน้นตัวงาหวนในการขึ้นรูปแบบแกนสมมาตร

จากสมการเฉลยของสมการอนุพันธ์ลำดับ 1 จะได้เป็น

$$\sigma_r = \exp\left(-\frac{2\mu r}{l}\right) \left[ \sigma_f \exp\left(\frac{2\mu r}{l}\right) + C \right] \quad (11)$$

โดยมีเงื่อนไขที่ขอบเป็น

$$\sigma_r = 0 \quad \text{เมื่อ} \quad r = \frac{d}{2} \quad (12)$$

แทน (12) ใน (10) จะได้ค่าคงที่ในการอินทีเกรต

$$C = -\sigma_f \exp\left(\frac{\mu}{l} d\right) \quad (13)$$

ดังนั้นความเด่นตามแนวรัศมี (radial stress) เป็น

$$\sigma_r = -\sigma_f \left\{ \exp\left[\frac{2\mu}{l}\left(\frac{d}{2} - r\right)\right] - 1 \right\} \quad (14)$$

แทนสมการ (14) ในสมการ (9) ความเด่นที่ผิวหน้าจะเป็น

$$\sigma_z = -\sigma_f \exp\left[\frac{2\mu}{l}\left(\frac{d}{2} - r\right)\right] \quad (15)$$

จากอนุกรม Taylor  $e^x = 1 + x + \frac{x^2}{2!} + \frac{x^3}{3!} + \dots$  กระจาย

อนุกรมของ exponential function จะได้เป็น

$$\exp\left[\frac{2\mu}{l}\left(\frac{d}{2} - r\right)\right] = 1 + \left[\frac{2\mu}{l}\left(\frac{d}{2} - r\right)\right] + \frac{\left[\frac{2\mu}{l}\left(\frac{d}{2} - r\right)\right]^2}{2} + \dots$$

จากอนุกรมเมื่อพิจารณาค่าสัมประสิทธิ์ความเสียดทาน ซึ่งมีค่าน้อยกว่า 1 เทอมที่มีค่าอย่างมาก จึงพิจารณาเพียง 2 เทอม แรกของอนุกรมเท่านั้น ดังนั้นจะได้ความเด่นที่ผิวหน้าเป็น

$$\sigma_z = -\sigma_f \left[ 1 + \frac{2\mu}{l} \left( \frac{d}{2} - r \right) \right] \quad (16)$$

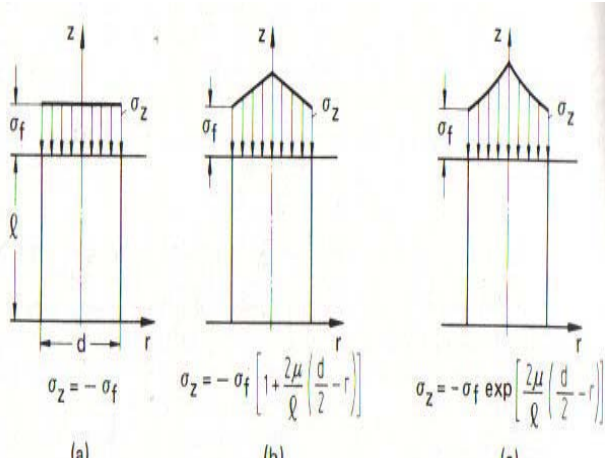
และการตีบบ่อก็ไม่มีแรงเสียดทาน สมการ (10) จะเป็น

$$\frac{d\sigma_r}{dr} = 0 \quad (17)$$

จะได้ว่า  $\sigma_r = \text{constant}$  และแทนสมการ (10) ใน (3)

$$\sigma_z = \sigma_r - \sigma_f = -\sigma_f \quad (18)$$

สมการ (18) สอดคล้องกับการแทน  $\mu = 0$  ในสมการ (14) ข้อที่ 4 แสดงการกระจายความเด่นที่ผิวหน้าที่ได้จากสมการ (15),(16) และ (18)



รูปที่ 4 การกระจายความเด่นตั้งฉากของการตีบบ่องระบบออกแบบ  
แกนสมมาตร

แรงในการขึ้นรูปจะหาได้จากการอินทีเกรตความเด่นที่กระทำที่พื้นที่หน้าสัมผัส A

$$F_z = \int_A \sigma_z dA \quad (19)$$

สำหรับกรณีแกนสมมาตร

$$F_z = -A \sigma_f \left( 1 + \frac{1}{3} \mu \frac{d}{l} \right) \quad (20)$$

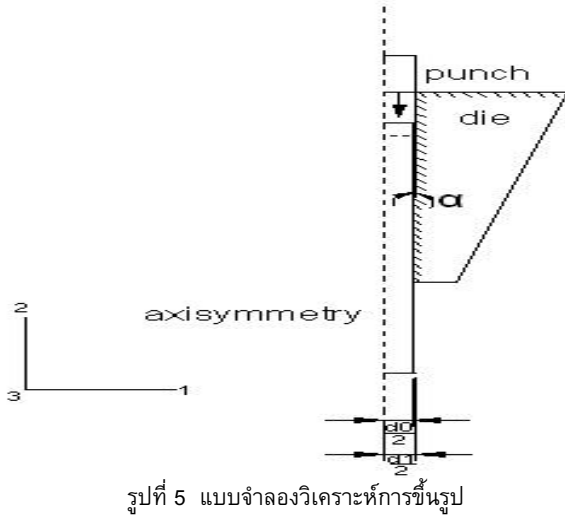
และงานที่ใช้ในการตีบบ่

$$W = \int_s^s F_z ds = -V \sigma_f \left( 1 + \frac{1}{3} \mu \frac{d}{l} \right) \quad (21)$$

สัมประสิทธิ์ความเสียดทาน  $\mu$  ขึ้นอยู่กับการหล่อลีนระหว่างผิวหน้า แม่พิมพ์กับชิ้นงานและอุณหภูมิ โดยมีค่าในช่วง 0.05-0.15 ยกเว้นที่มีการหล่อลีน

### 3. วิธีการวิเคราะห์ด้วย FEM

สร้างแบบจำลองของแม่พิมพ์ในการตีบิ้น ขนาดเส้นผ่าศูนย์กลาง สูดท้ายเป็น 18 และ 20 มม. ตามลำดับ ขนาดมุมแม่พิมพ์  $\alpha$  ตั้งแต่ 10 ถึง 25 องศา แบบจำลองที่ใช้เป็น 2 มิติ axisymmetry รูปที่ ใช้ในการวิเคราะห์จะเป็นดังรูป 5 (หน่วยเป็น มม.)



ในแบบจำลองใช้โปรแกรม ABAQUS โดยให้ punch และ die เป็นวัสดุแข็งเกร็ง และแท่งอุฐมีเนื้อมีนวัตถุที่เสียบูปได้ จำนวน element ที่ใช้เป็น 2000 elements โดยเป็นแบบ axisymmetric element  $\mu$  ระหว่างชิ้นงานกับ die เป็น 0.15 และ  $\mu$  ระหว่างชิ้นงาน กับ punch เป็น 0.05 การคำนวณแต่ละกรณีแบ่งออกเป็น 5 ขั้นตอน และแต่ละขั้นตอนจะมีเงื่อนไขที่ขوب ตามตารางที่ 1

ตารางที่ 1 boundary condition และ load ในแบบจำลอง

ขั้นตอน	เงื่อนไขที่ขوبและภาระ
dieset	แบบจำลองเริ่มต้นดังรูปที่ 5 die : U1=0 U2=0 UR3=0 punch : U1=0 U2=0 UR3=0 fixed (แกนสมมาตร) : U3=UR1=UR2=0
holder	บีบชิ้นงาน die : U1=-0.01 U2=0 UR3=0 punch : U1=0 U2=0 UR3=0 fixed (แกนสมมาตร) : U3=UR1=UR2=0
holder force	เพิ่มแรงการจับไม่ให้ชิ้นงานเคลื่อนที่ขณะตี die : U1=-0.01 U2=0 UR3=0 , F1=-2E+006 punch : U1=0 U2=0 UR3=0 fixed (แกนสมมาตร) : U3=UR1=UR2=0
contact	punch เคลื่อนที่สัมผัสหน้าชิ้นงาน die : U1=-0.01 U2=0 UR3=0 , F1=-2E+006 punch : U1=0 U2=ระยะที่ punch สัมผัสชิ้นงาน UR3=0 fixed (แกนสมมาตร) : U3=UR1=UR2=0

forging

punch ตีชิ้นงานระยะตามที่คำนวณ

die : U1=-0.01 U2=0 UR3=0 , F1=-2E+006

punch : U1=0 U2=ระยะที่ punch ตีชิ้นงาน UR3=0

fixed (แกนสมมาตร) : U3=UR1=UR2=0

โดยที่  $U$  เป็นการขัดเชิงเส้น  $UR$  เป็นการขัดเชิงมุม และ  $1,2$  และ  $3$  แทนทิศทางในแนวแกน  $x, y$  และ  $z$  ตามลำดับ

#### 3.1 การคำนวณความยาวเริ่มต้น

การคำนวณจะใช้สมมติฐานว่าปริมาตรการรีบูปประจำที่ ความยาวเกลียวที่ใช้ค่าที่ 25 มม. ที่เส้นผ่าศูนย์กลางเป็น 18 ทุกมุมแม่พิมพ์ และ 22.5 มม. ที่เส้นผ่าศูนย์กลาง 19 และ 20 มม. ในแบบจำลองตีชิ้นงานครั้งเดียว ดังนั้นความยาวเริ่มต้นต้องไม่ทำให้ค่าสัดส่วนการตีบิ้นไม่เกิน 2.6 การคำนวณความยาวเริ่มต้นชิ้นงานที่มุมแม่พิมพ์ต่าง ๆ โดยเส้นผ่าศูนย์กลางเริ่มต้น 16 มม. ค่าความยาวเริ่มต้นแสดงดังตาราง

ตารางที่ 2 ความยาวเริ่มต้นเมื่อ  $d_1 = 18$  มม.

$d_0$ มม.	$d_1$ มม.	$\alpha$ องศา	$l_1$ มม.	$V$ ลบ.มม.	$l_0$ มม.
16	18	10	30.67	7650	38.05
16	18	15	28.73	7210	35.86
16	18	20	27.75	6986	34.75
16	18	25	27.14	6849	34.06

ตารางที่ 3 ความยาวเริ่มต้นเมื่อ  $d_1 = 19$  มม.

$d_0$ มม.	$d_1$ มม.	$\alpha$ องศา	$l_1$ มม.	$V$ ลบ.มม.	$l_0$ มม.
16	19	10	31.01	8431	41.93
16	19	15	28.10	7729	38.44
16	19	20	26.62	7373	36.67
16	19	25	25.72	7155	35.59

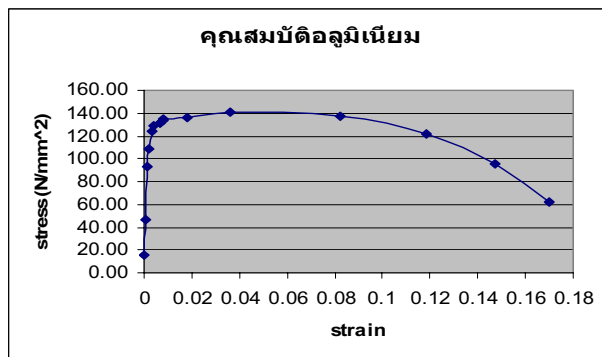
ตารางที่ 4 ความยาวเริ่มต้นเมื่อ  $d_1 = 20$  มม.

$d_0$ มม.	$d_1$ มม.	$\alpha$ องศา	$l_1$ มม.	$V$ ลบ.มม.	$l_0$ มม.
16	20	10	33.84	9967	49.57
16	20	15	29.96	8976	44.64
16	20	20	27.99	8473	42.14
16	20	25	26.79	8164	40.61

ในการตีบิ้น 1 ครั้งสัดส่วนการตีบิ้นต้องไม่เกิน 2.6 [1] ดังนั้นเมื่อขนาดเส้นผ่าศูนย์กลางเริ่มต้นเป็น 16 มม. และความยาวเริ่มต้นจะต้องไม่เกิน 41.6 มม. เพื่อป้องกันการแตกที่ผิวอบนออกและการໄกว่งของชิ้นงานขณะรีบูป

### 3.2 คุณสมบัติอลูมิเนียมในแบบจำลอง FEM

อลูมิเนียมที่ใช้ในแบบจำลอง มีคุณสมบัติดังรูปที่ 6 แสดงความสัมพันธ์ระหว่างความเด่นและความเครียด



รูปที่ 6 กราฟความสัมพันธ์ความเด่นและความเครียด

ในการคำนวณแรงในการขึ้นรูป หา flow stress ที่เป็นพังก์ชัน กับความเครียด โดยที่ flow stress เป็นความเด่นที่ทำให้เกิดการเสียรูปถาวร ความสัมพันธ์ของ flow stress กับความเครียดที่เกิดขึ้นจะอยู่ในรูปของสมการ

$$\sigma_f = H\varphi^n \quad (22)$$

เมื่อ  $\sigma_f$  คือ flow stress ,  $H$  เป็นสัมประสิทธิ์ความแข็งแรง วัสดุ,  $\varphi$  เป็นความเครียดเกิดขึ้น (true strain) และ  $n$  คือค่ายกกำลัง strain hardening สำหรับอลูมิเนียม flow stress จะได้เป็น

$$\sigma_f = 240\varphi^{0.15} \text{ MPa}$$

### 4. ผลการคำนวณและวิเคราะห์ FEM

แรงที่ใช้ในการขึ้นรูปจากการวิเคราะห์ไฟฟ้าในร์โอลิเมนต์ นำมาเปรียบเทียบกับการคำนวณตามทฤษฎี ที่มุ่งแม่พิมพ์แม่พิมพ์ต่าง ๆ ในของเส้นผ่าศูนย์กลาง 18,19 และ 20 มม. จะได้เป็น

ตารางที่ 5 เปรียบเทียบแรงขึ้นรูปที่  $d_1=18$  มม.

มุ่ง	10	15	20	25
แรงทฤษฎี (kN)	52.76	53.27	53.54	53.78
แรง FEM (kN)	49.59	51.56	52.23	52.98
%ERROR	6.61	3.21	2.45	1.49

ตารางที่ 6 เปรียบเทียบแรงขึ้นรูปที่  $d_1=19$  มม.

มุ่ง	10	15	20	25
แรงทฤษฎี (kN)	62.09	62.98	63.41	63.79
แรง FEM (kN)	55.30	58.38	61.21	62.04
%ERROR	10.94	7.3	3.47	2.74

ตารางที่ 7 เปรียบเทียบแรงขึ้นรูปที่  $d_1=20$  มม.

มุ่ง	10	15	20	25
แรงทฤษฎี (kN)	71.02	72.26	73.00	73.45
แรง FEM (kN)	68.63	70.85	71.23	71.78
%ERROR	3.37	1.95	2.42	2.27

จากค่าแรงที่ได้จากการวิธี FEM นำมาทำงานในการตี演โดยใช้สมการ (21) เพื่อเปรียบเทียบงานที่ใช้ในแต่ละมุ่งของแม่พิมพ์

ตารางที่ 8 เปรียบเทียบงานในการตี演เมื่อ  $d_1=18$  มม. ที่มุ่งต่าง ๆ

มุ่ง (องศา)	$I_0 - I_1$ (มม.)	แรง (kN)	งาน (Nm)
10	7.38	49.59	365.93
15	7.13	51.56	367.45
20	7.00	52.23	365.52
25	6.92	52.98	366.61

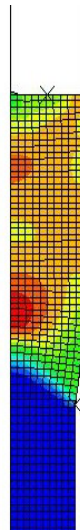
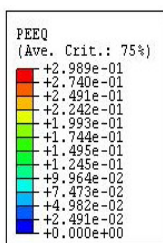
ตารางที่ 9 เปรียบเทียบงานในการตี演เมื่อ  $d_1=19$  มม. ที่มุ่งต่าง ๆ

มุ่ง (องศา)	$I_0 - I_1$ (มม.)	แรง (kN)	งาน (Nm)
10	10.92	55.30	604.06
15	10.34	58.38	603.87
20	10.05	61.21	615.13
25	9.87	62.04	612.29

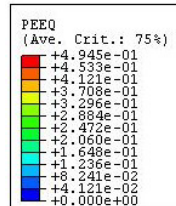
ตารางที่ 10 เปรียบเทียบงานในการตี演เมื่อ  $d_1=20$  มม. ที่มุ่งต่าง ๆ

มุ่ง (องศา)	$I_0 - I_1$ (มม.)	แรง (kN)	งาน (Nm)
10	10.92	68.63	1079.43
15	10.34	70.85	1039.92
20	10.05	71.23	1007.51
25	9.87	71.78	991.85

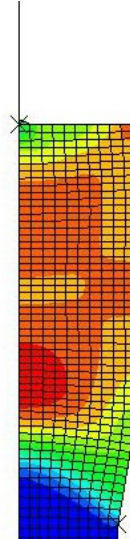
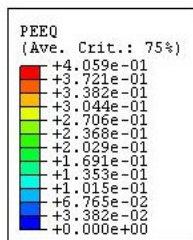
จากการเปรียบเทียบแรงจากทฤษฎีและ FEM จะเห็นว่าแรงขึ้นรูปที่มุ่งแม่พิมพ์น้อย ๆ จะให้แรงในการขึ้นรูปต่ำ แต่เมื่อขนาดเส้นผ่าศูนย์กลางการตี演เพิ่มขึ้น มุ่งของแม่พิมพ์ที่ความยาวเริ่มต้นเกิน 41.6 มม. ซึ่งทำให้สัดส่วนการตี演เกิน 2.6 เมื่อตี演ในครั้งเดียว จะทำให้แรงในการตี演สูงกว่ามุ่งที่ความยาวเริ่มต้นไม่เกิน 41.6 มม. เพราะจากสมมติฐานบริเวณริมชานดงที่หักก่อนและหลังขึ้นรูป เมื่อที่ยังเป็นขนาดเส้นผ่าศูนย์กลางเท่ากัน ชิ้นงานที่ความยาวมากกว่าจะมีค่างานในการขึ้นรูปสูงกว่า เมื่อชิ้นงานมีงานตี演กระทำจะเกิดพลังงานความเครียดขึ้นเนื่องจากการเปลี่ยนขนาด โดยเป็นพลังงานที่เกิดในวัสดุเพื่อต้านทานความเครียดที่เกิดจากการเสียรูป รูปการกระจายความเครียดพลาสติกในกรณีต่าง ๆ เป็นดังรูป



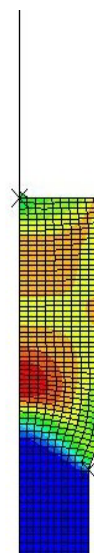
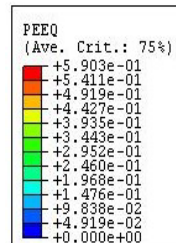
รูปที่ 7 การกระจายความเครียด  $d_1 = 18$  มม. มุ่ง  $\alpha = 10$  องศา



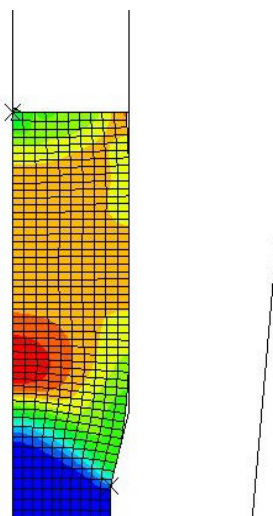
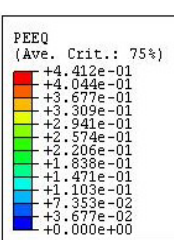
รูปที่ 10 การกระจายความเครียด  $d_1 = 20$  มม. มุ่ง  $\alpha = 20$  องศา



รูปที่ 8 การกระจายความเครียด  $d_1 = 19$  มม. มุ่ง  $\alpha = 10$  องศา



รูปที่ 11 การกระจายความเครียด  $d_1 = 20$  มม. มุ่ง  $\alpha = 25$  องศา



รูปที่ 9 การกระจายความเครียด  $d_1 = 19$  มม. มุ่ง  $\alpha = 15$  องศา

จากการวิเคราะห์ FEM ว่าค่าไอลดีอยู่ที่  $\alpha = 15$  องศา สำหรับ  $d_1 = 19$  มม. เมื่อเพิ่มขนาดเส้นผ่าศูนย์กลาง 16, 18, 19 และ 20 มม. มุ่งของแม่พิมพ์ที่เหมาะสมของแม่พิมพ์เป็น 10, 15 และ 25 องศา ตามลำดับ

##### 5. สรุปและอภิปรายผล

แรงตึงที่ได้จากการวิเคราะห์ FEM ว่าค่าไอลดีอยู่ที่  $\alpha = 15$  องศา แม่พิมพ์จะมีผลต่อขนาดแรงตึงที่ยืน การตึงที่มุ่งแม่พิมพ์น้อย ๆ แรงที่ใช้จังหวะอย่างกว่า เมื่อเพิ่มขนาดเส้นผ่าศูนย์กลางหลังการตึงที่มุ่งของแม่พิมพ์จะเพิ่มขึ้น เนื่องจากที่มุ่งขนาดเล็กจะทำให้ความยาวเริ่มต้นมีค่ามากเกินอัตราส่วนการตึงที่กำหนดในการตึงรังดีเยา ทำให้งานในการตึงสูงกว่ามุ่งที่ทำให้ความยาวเริ่มต้นไม่เกิน 41.6 มม.

เมื่อนำแท่งอลูมิเนียมที่ตีบันไปทำเกลียวไปต่อ กับข้อต่อ ในกรณีขนาดเส้นผ่าศูนย์กลาง 18, 19 และ 20 มม. การตีบัน 3 ด้าวย่างไปทำ การดึงทดสอบ จะได้ผลดังรูป

[5] Serope Kalpakjian and Steven R. Schmid , Manufacturing Engineering and technology , Fifth Edition , Pearson Prentice Hall , 2006



(ก) (ข) (ค)

รูปที่ 12 การดึงทดสอบแท่งอลูมิเนียมที่ต่อด้วยข้อต่อจากการตีบัน

การตีบันจะเพิ่มความแข็งให้กับอลูมิเนียม เมื่อดึงทดสอบจึงไม่ขาดที่ จุดต่อ การตีบันก่อนนำไปทำเกลียวที่ต่อ กับข้อต่อจะแก้ปัญหาความ แรงโครงสร้างที่สูดเชื่อมต่อและลดเหลือกต่อทางได้

## 6. สัญลักษณ์

S	อัตราส่วนการตีบัน
F	แรงในการหักรูป
H	สัมประสิทธิ์ความแข็งแรงวัสดุ
V	ปริมาตรขึ้นงาน
W	งานในการตีบัน
n	ค่ายกกำลัง strain hardening
l	ความยาว
d	เส้นผ่าศูนย์กลาง
$\sigma_f$	flow stress
$\varphi$	true strain
$\mu$	สัมประสิทธิ์ความเสียดทาน
$\theta, \alpha$	มุม

## 7. กิตติกรรมประกาศ

ขอขอบคุณอาจารย์จำลองและอาจารย์มนต์ศักดิ์ ที่ให้คำปรึกษา และชี้แนะข้อบกพร่องต่าง ๆ และขอขอบคุณพ่อ กับแม่ที่สนับสนุน ทุกการศึกษามาโดยตลอด

### เอกสารอ้างอิง

- [1] ต่าง ไชยธีรานุวัฒน์ , การหักรูปโลหะ , บริษัท ซี.เอ็ดยูเคชั่น จำกัด (มหาชน) , 2537
- [2] รศ.ดร.เดช พุทธเจริญกอง , ทฤษฎีพลาสติกิตติ์และการเปลี่ยนรูป ถาวร, ศูนย์สื่อสิ่งแพร่สารกรุงเทพ , 2548
- [3] T.Altan, S.Oh and H.Gegel , Metal Forming Fundamentals and Applications , Seventh Edition , American Society for Metals , 2000
- [4] Kurt lange , Hand book of metal forming , McGraw-Hill , 1985